

- Pt. PC1, pp. 33~114, (1977.3).
7. J.C. Chen, R.K. Sanderam and F.T. Ozkaynak : A Phenomenological Correlation for Pt. 1 CHF Heat Transfer, U.S. Nuclear Regulatory Commission, NUREG-0637, (1977).
 8. 余宗樹 : 沸騰傳導, 核能工程學, 核能工程學會編, 核能工程學會論文集, 第四輯, pp. 133~179, (1974).
 9. P. Saha and N. Zuber : Point of Net Vapor void Fraction in Subcooled Boiling, 5th Int. Heat Transfer conf., B4.7, pp. 475~478, (1974).
 10. 鈴伊勢・猪川弘 : 鋼鉄合金の STS系熱伝導, 核能工程學會論文集, 研究, 核能利用機器學會誌, 第四卷, 第2號, pp. 29~35, (1980).
 11. W. Nakayama, T. Daijoku, H. Kuwahara, T. Nakajima : Dynamic Model of Enhanced Boiling Heat Transfer, Vol. 162, No. 1, p. 89.
 12. J.P. Holman : Heat Transfer, Mc. Graw-Hill, p. 31, p. 335, (1973).
 13. 西田和雄, 森田耕吉, 長島信, 國友孟 : 傳熱工學教科書, 資賢堂, Vol. 2, p. 5, (1974).
 14. 日本機械學會 : 傳熱工學資料, 明善社, pp. 293~328, (1980.4).
 15. W.M. Rohsenow and P. Griffith : Correlation of Maximum Heat Transfer Data for Boiling of Saturated Liquids, Chem. Eng. Symp. Series, Vol. 51, No. 14, p. 47, (1957).
 16. S.S. Kutateladze : Heat Transfer in Condensation and Boiling, USAEC Rept. AEC-tr-3774, (1952).
 17. N. Zuber : Hydrodynamic Aspects of Boiling, Heat Transfer, USAEC Rept. AECU-4429, Doctoral Dissertation, UCLA (1959).
 18. Y.P. Chang and N.W. Snyder : Heat Transfer in Saturated Boiling, Chem. Eng. Prog. Symp. Series, Vol. 51, No. 30, pp. 37~63, (1955).
 19. American Society for Metals : Metal Handbook, Vol. 1, Eight Edition, Metal Part, Ohio, pp. 1047~1028, (1969).
 20. OMEGA Eng. InC : Temperature Measurement Handbook, pp. A8~A35, (1979).
 21. 丸鶴和男 : 伝熱技術, 稲文社, pp. 13~55 (1979).
 22. 西田・山繩 : Int. J. Heat Mass Transfer, Vol. 1, p. 219, (1960).
 23. W.H. Jens and P.A. Lettes : Analysis of Heat Transfer, BarorOut, Pressure Drop and Density Data for High Pressure Water, USAEC Rept. ANL-4627, (1951).
 24. T.Ueda, M. Inoue and S.Nagatome : Critical Heat Flux and Droplet Entrainment Rate of Falling Liquid Films with Boiling, 第16回日本傳熱シンポジウム, Vol. 16, B115, pp. 214~216, (1974.4).

分岐가 있는 推進軸系 비틀림振動 計算의 電算프로그램 開發에 關한 研究

許 南 均

A Study on the Developing a Computer Program for the Torsional
Vibration Calculation of Branched Shaft System

Hyo Namkyun

.....〈目 次〉.....

1. 머릿말
2. 分岐가 있는 軸系의 固有振動數 및 振動型의 計算
 - 2·1 軸系의 構成 1945
 - 2·2 質量慣性모멘트매트릭스와 비틀림剛性매트릭스
 - 2·3 Jacobi 回轉法에 依한 固有值, 固有ベタ의 計算
 - 2·4 Holzer表 의 作成
3. 振動에 依한 附加應力의 計算
 - 3·1 B & W 型機關
 - 3·2 Sulzer 型機關
 - 3·3 動倍率
 - 3·4 토크하모닉係數
4. 電算프로그램
 - 4·1 電算프로그램의 概要
 - 4·2 電算프로그램의 플로우챠트
5. 實際 軸의 計算과 그 結果의 比較檢討
 - 5·1 供試軸系의 特性
 - 5·2 計算結果
 - 5·3 計算結果의 比較檢討
6. 結論
- 参考文献

Abstract

Recently, the shaft driven generator system has been widely used in energy saving diesel ships to reduce the expensive marine diesel oil consumption, during the sea going condition of the vessel.

In such a ship's propulsion system, the calculation process of its torsional vibration is ordinarily a lengthy procedure and a tedious job.

In this paper, the calculation problems of the branched shaft system which consists of a slow speed diesel engine with a C.I.P. and a generator driven by the main propulsion shaft through a gearbox system, are treated.

Calculations which are undertaken for B & W and Sulzer type engines, are fulfilled for several operating conditions of main engine output, propeller pitch, clutch engaged/disengaged, shaft generator loaded/unloaded and all cylinders firing/one cylinder missfiring. The calculation results are compared with those of major foreign engine builders.



1. 머릿말

油類波動以後 船舶運航費에서 占有하는 燃料油經費의 比率이 약 60%에 達하고 있으며, 이는 各海運船社의 運營에 있어 深刻한 問題로 登場하게 되었다. 따라서 最近에 建造되고 있는 船舶에 있어서 最大課題는 省에너지이고, 이를 뒷받침하는 것이 燃料節減型 主機關의 選擇과 廢熱의 利用, 各種 補機의 驅動馬力 削減 等이다. 또한, いれ한 問題와 關聯하여 脚光을 받고 있는 것 中의 하나가 軸發電機이다. 即, 航海中에 必要한 電力を 主機驅動의 發電機로 供給함으로써 값이 싼 C重油를 利用하여 効率이 좋은 主機로 發電할 수 있을 뿐더러 航海中에는 發電機用 補助發電機를 休止함으로써 海技士의 勞力도 그만큼 줄일 수 있는 利點이 따르게 된다.

그러나, 이 問題는 推進軸系가 分岐를 갖는 軸系를 形成하게 됨으로써 船級協會에서 要求하는 비틀림振動計算이 電算機를 利用하더라도 繁雜하게 될 뿐만 아니라 發電機驅動系에 可撓커플링이 存在하게 되므로 한 시린더가 着火失敗할 경우에 對하여서도 檢討할 必要가 생기게 된다.

單純軸系의 경우 비틀림振動計算은 通常 Holzer 表에 依한 逐次近似法에 의하고 있는데 分岐가 있는 경우에는 앞서 言及한 바와 같이 若干 어려움이 있기 때문에 이를 固有值問題로 바꾸어 다루는 것이 便利하다.

本研究에서는 分岐가 있는 비틀림振動系를 固有值問題로 바꾸어 이를 매트릭스形式으로 쓰고, Jacobi 回轉法에 의하여 그의 固有值(固有振動數)와 固有벡터(比振幅)를 求한 다음 이를 다시 Holzer 表形式으로 바꾸어 써서 判讀에 便利하게 하는 一聯의 電算프로그램을 開發하고자 한다.

最近의 大形 船用디이젤기관의 型式은 漸次 統合되어 實質적으로 B&W型 機關과 Sulzer型 機關이主流를 形成하고 있으므로 電算프로그램도 이들 두가지 機關型에 맞추어서 開發하고자 한다.

2. 分岐가 있는 軸系의 固有振動數 및 振動型의 計算

2·1 軸系의 構成

主機關과 軸發電機와의 連結方法에는 여러 가지가 있다.

가장一般的인 方法은 主機關에 直接 連結된 中間軸에 增速齒車를 設置하고, 이를 通하여 發電機를 驅動시키는 方法이다. 이 變速齒車의 設置場所를 機關의 앞쪽으로 하느냐, 아니면 機關의 뒷쪽으로 하느냐 하는 것은 機關室의 形狀에 따라 決定될 수 있다. 이와같이 齒車가 附加되는 推進軸系에서는 變速齒車와 PTO(power take off)의 設置가 不可避하나 다른 方法에 比해 運轉범위가 넓고 資材費가 적게 들기 때문에 많이 利用되고 있다.

齒車와 軸發電機가 機關의 前端에 設置될 때에는 發電機와 齒車박스로 因하여 推進軸系의 길이가 길어지므로 軸이나 齒車의 形式을 考慮하여 軸系가 簡便되는 方法을 選擇하도록 해야한다.

비틀림振動計算의 측면에서 본다면 機關前端에 그것들을 設置하는 것이 中間軸에 設置하는 것 보다 덜複雜하다. 즉, 可撓커플링을 機關前端에 設置하여 齒車와 連結하면 單純軸系와 同一한 系로

되기 때문에 비틀림振動計算이 간단하게 된다.

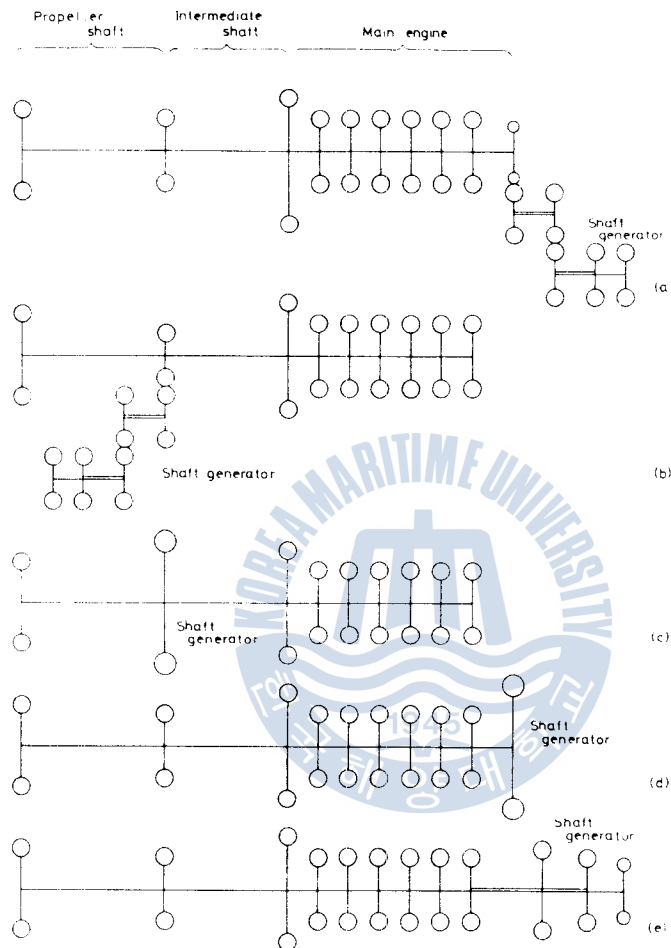


Fig. 1. Examples of shaft generator arrangement

Fig. 1의 軸發電機의 몇 가지 代表的인 경우에 對하여 그의 配置圖를 나열하였다.

(a)의 方法은 機關前端에 클러치와 變速齒車를 設置한 다음 軸發電機를 連結시킨 것이다, (b)의 方法은 軸發電機를 中間軸에 設置한 경우이다. (e)의 方法은 變速齒車 대신에 epicycle 齒車를 利用한 것으로 (a), (b), (c), (d)와는 전혀 다른 方法이다. 비틀림振動의 問題만 생각한다면 (a)나 (b)와 거의同一의 方法이다. (c)와 (d)는 軸自體를 發電機의 모우터로 利用한 것으로서 (c)의 경우는 中間軸에, (d)의 경우는 機關앞쪽 끝단을 利用한 것이다. (a)와 (b)의 形式은 프로펠러를 可變螺栓型으로 하는 경우가 大부분이다.

以上과 같은 軸發電機軸系構成의 경우는 여러 가지 狀態가 發生될 수 있으므로, 初期設計時 可撓 커플링이나 軸直徑의 修正, 質量의 調整 등을 行하여 充分히 檢討되어져야 한다.

本論文에서는 특히 많이 이용되고 있는 Fig. 1의 (b)形式配列에 可變齒車 프로펠러를 갖는 軸系의 비틀림振動問題를 重點的으로 檢討하고자 한다.

Fig. 2A, 2B는 이러한 軸系裝置의 概略圖이다.

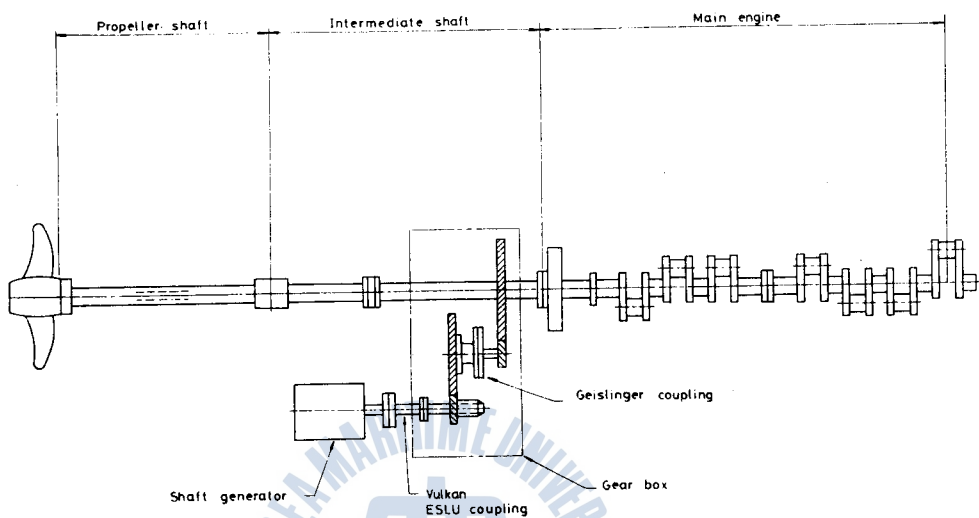


Fig. 2 A. Skelton diagram of the propulsion shafting with a shaft generator.

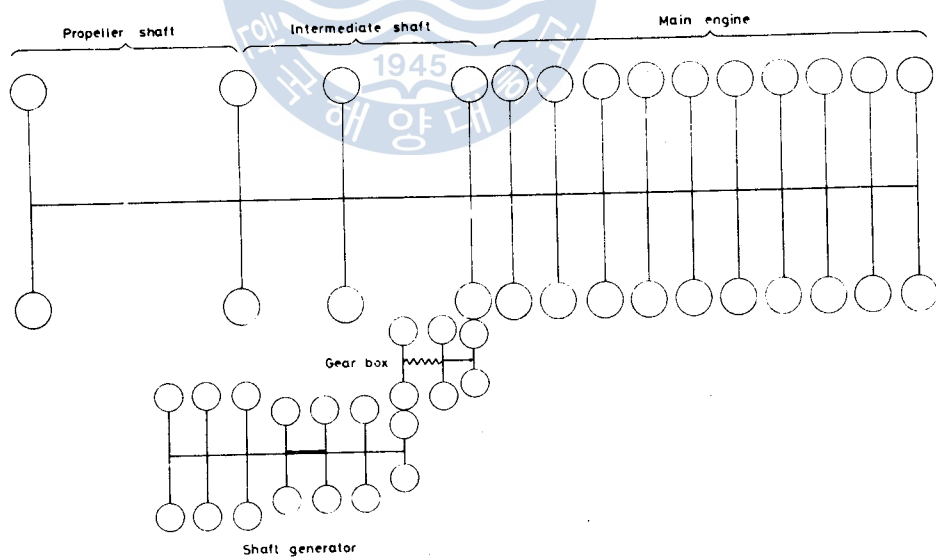


Fig. 2 B. Modeling of the propulsion shafting with a shaft generator

2·2 質量慣性모멘트 매트릭스와 비틀림剛性 매트릭스

Fig. 3을 參照하여 直線變位 y 와 角變位 x 를 對比하면서 運動方程式을 쓰면 다음과 같다.¹⁾

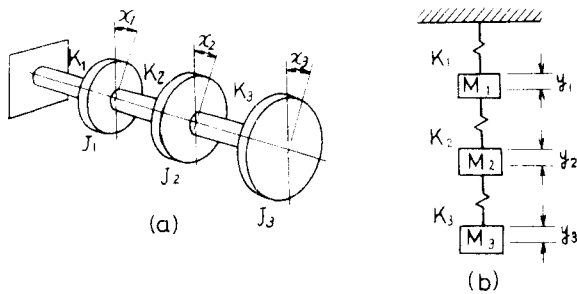


Fig. 3. Models of the multi-degree freedom vibratory system

$$\left. \begin{array}{l} J_1 \ddot{x}_1 = -K_1 x_1 + K_2 (x_2 - x_1) \\ J_2 \ddot{x}_2 = -K_2 (x_2 - x_1) + K_3 (x_3 - x_2) \\ J_3 \ddot{x}_3 = -K_3 (x_3 - x_2) \end{array} \right\} \quad (1)$$

여기서 J_1, J_2, J_3 은 質量慣性모멘트, K_1, K_2, K_3 은 비틀림스프링常數
이를 이 調和振動한다고 보고

$$x_1 = X_1 \sin \omega t$$

$$x_2 = X_2 \sin \omega t$$

$$x_3 = X_3 \sin \omega t$$

라 놓고, (1)式을 整理하면

$$\begin{aligned} \left(\frac{K_1+K_2}{J_1} - \omega^2 \right) X_1 - \frac{K_2}{J_1} X_2 &= 0 \\ - \frac{K_2}{J_2} X_1 + \left(\frac{K_2+K_3}{J_2} - \omega^2 \right) X_2 - \frac{K_3}{J_2} X_3 &= 0 \\ - \frac{K_3}{J_3} X_2 + \left(\frac{K_3}{J_3} - \omega^2 \right) X_3 &= 0 \end{aligned}$$

이를 다시 매트릭스形式으로 고쳐쓰면,

$$\begin{pmatrix} \frac{K_1+K_2}{J_1} & -\frac{K_2}{J_1} & 0 \\ -\frac{K_2}{J_2} & \frac{K_2+K_3}{J_2} & -\frac{K_3}{J_2} \\ 0 & -\frac{K_3}{J_3} & \frac{K_3}{J_3} \end{pmatrix} \begin{pmatrix} X_1 \\ X_2 \\ X_3 \end{pmatrix} = \omega^2 \begin{pmatrix} X_1 \\ X_2 \\ X_3 \end{pmatrix} \quad (2)$$

(2)式을 簡略하게 고쳐쓰면,

$$[A] \{X\} = \omega^2 \{X\} \quad (3)$$

여기서 매트릭스 $[A]$ 를 分할하여

$$[J]^{-1}[K]\{X\} = \omega^2 \{X\} \quad (4)$$

로 表現하면

$$[J]^{-1} = \begin{pmatrix} \frac{1}{J_1} & 0 & 0 \\ 0 & \frac{1}{J_2} & 0 \\ 0 & 0 & \frac{1}{J_3} \end{pmatrix} \quad (5)$$

$$[K] = \begin{pmatrix} (K_1 + K_2) & -K_2 & 0 \\ -K_2 & (K_2 + K_3) & -K_3 \\ 0 & -K_3 & K_3 \end{pmatrix} \quad (6)$$

$[J]^{-1}$ 는 質量慣性모멘트의 逆 매트릭스이고, $[K]$ 는 비틀림剛性 매트릭스이다. 위의 結果를 分岐가 있는 系에 適用하면 다음과 같다.

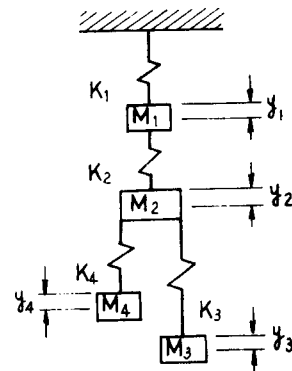
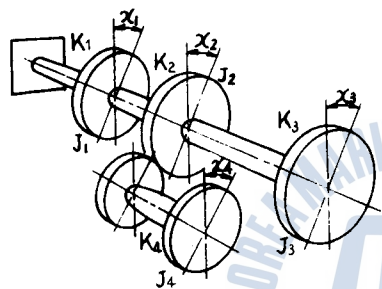


Fig. 4. Models of the multi-degree freedom branched vibratory system

$$[J]^{-1} = \begin{pmatrix} \frac{1}{J_1} & 0 & 0 & 0 \\ 0 & \frac{1}{J_2} & 0 & 0 \\ 0 & 0 & \frac{1}{J_3} & 0 \\ 0 & 0 & 0 & \frac{1}{J_4} \end{pmatrix} \quad (7)$$

비틀림剛性매트릭스는 다음과 같다.

$$[K] = \begin{pmatrix} (K_1 + K_2) & -K_2 & 0 & 0 \\ -K_2 & (K_2 + K_3 + K_4) & -K_3 & -K_4 \\ 0 & -K_3 & K_3 & 0 \\ 0 & -K_4 & 0 & K_4 \end{pmatrix} \quad (8)$$

2·3 Jacobi 回轉法에 依한 固有值 및 固有벡터의 計算²⁾

(1) 固有值의 計算

앞 절에서 說明한 式(3)에서 $\omega^2 = \lambda$ 라 놓으면 Fig.5에서 列벡터 $[X]$ 는 X_1 과 X_2 의 두 成分으로 되어 있으므로, 이를 다시 \bar{X}_1 와 \bar{X}_2 의 두 成分으로 分割하면 다음과 같은 關係式이 成立한다.

즉, \overline{OD} 는

$$\begin{aligned} X_1 &= \bar{X}_1 \cos \theta - \bar{X}_2 \sin \theta \\ X_2 &= \bar{X}_1 \sin \theta + \bar{X}_2 \cos \theta \end{aligned} \quad (9)$$

이를 매트릭스形式으로 쓰면 다음과 같다.

$$\begin{bmatrix} X_1 \\ X_2 \end{bmatrix} = \begin{bmatrix} \cos \theta & -\sin \theta \\ \sin \theta & \cos \theta \end{bmatrix} \begin{bmatrix} \bar{X}_1 \\ \bar{X}_2 \end{bmatrix} \quad (10)$$

이를 바꾸어 쓰면

$$[X] = [T][\bar{X}] \quad (11)$$

이 式(11)을 式(9)에 代入하면

$$[A][T][X] = \lambda[T][X] \quad (12)$$

또는

$$[T]^T[A][T][X] = \lambda[T]^T[T][X] \quad (13)$$

$[T]^T[T] = [I]$ 이므로 式(13)은

$$[T]^T[A][T][X] = \lambda[I][X] = [\lambda][X] \quad (14)$$

式(14)에서 左邊은 對角項을 除外한 모든 項이 0이다.

$[T]^T[A][T]$ 를 $[B]$ 라 하면

$$\begin{aligned} [B] &= \begin{bmatrix} \cos \theta & \sin \theta \\ -\sin \theta & \cos \theta \end{bmatrix} \begin{bmatrix} a_{11} & a_{12} \\ a_{21} & a_{22} \end{bmatrix} \begin{bmatrix} \cos \theta & -\sin \theta \\ \sin \theta & \cos \theta \end{bmatrix} \\ &= \begin{bmatrix} a_{11} \cos^2 \theta + 2a_{11} \sin \theta \cos \theta + a_{22} \sin^2 \theta & a_{12} (\cos^2 \theta - \sin^2 \theta) + \sin \theta \cos \theta (a_{22} - a_{11}) \\ a_{11} (\cos^2 \theta - \sin^2 \theta) + \cos \theta \sin \theta (a_{22} - a_{11}) & a_{11} \sin^2 \theta - 2a_{12} \sin \theta \cos \theta + a_{22} \cos^2 \theta \end{bmatrix} \end{aligned} \quad (15)$$

여기서 對角項을 除外한 모든 項들은 0이므로

$$a_{12} (\cos^2 \theta - \sin^2 \theta) + \cos \theta \sin \theta (a_{22} - a_{11}) = 0 \quad (16)$$

가 되고

$$\tan 2\theta = \frac{2a_{12}}{a_{11} - a_{22}} \quad (17)$$

가 된다. 따라서,

$$[B] = \begin{bmatrix} a_{11} \cos^2 \theta + 2a_{11} \sin \theta \cos \theta + a_{22} \sin^2 \theta & 0 \\ 0 & a_{11} \sin^2 \theta - 2a_{12} \sin \theta \cos \theta + a_{22} \cos^2 \theta \end{bmatrix} \quad (18)$$

式(18)에서

$$b_{11} = a_{11} \cos^2 \theta + 2a_{11} \sin \theta \cos \theta + a_{22} \sin^2 \theta$$

$$b_{22} = a_{11} \sin^2 \theta - 2a_{12} \sin \theta \cos \theta + a_{22} \cos^2 \theta$$

가 固有值이다.

式(14)에서 $[T]^T[A][T] = [B] = [\lambda]$

式(11)에서 $[X] = [T][\bar{X}]$ 이고 여기서 $[T]$ 는 轉換매트릭스이며 正方매트릭스이다. 매트릭스 $[A]$ 의 次數가 많을 때는 非對角要素을 모두 零으로 하기 위하여 위와 같은 操作을 無數히 反復하여야 하며 그 結果로

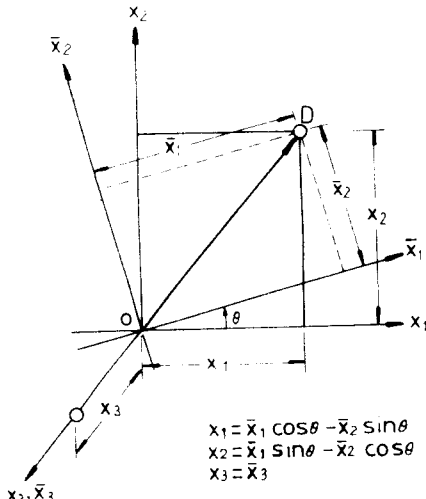


Fig. 5. Rotation of the column vector

$$[T_m]^T \cdots [T_1]^T [T_1]^T [A] [T_1] [T_1] \cdots [T_m] = [B] = [X] \quad (19)$$

(2) 固有ベクトルの計算

固有値 λ_i 에 대응하는 固有ベクトル를 v_i 라 하고 이로써構成되는 正方マトリクス를 $[V]$ 라 하면, 다음과 같이 쓸 수 있다.

$$[A][V] = [V][X] \quad (20)$$

양변에 $[V]^{-1}$ 를 곱하면

$$[V]^{-1}[A][V] = [V]^{-1}[V][X]$$

$$[V]^{-1}[A][V] = [I]$$

이므로,

$$[V]^{-1}[A][V] = [X]$$

式(19)과對比하면,

$$[V] = [T_1][T_2] \cdots [T_m] \quad (21)$$

2·4 Holzer 表의 作成

Jacobi 回轉法에 의해 구해진 固有値은 固有振動數를, 그리고 固有ベクトル는 比振幅을 각각 나타내므로 이 값들을 利用해서 Holzer 表를 作成할 수 있다.

Holzer 表는 비틀림진동문제를 다루는데 있어 系의 特性值을 한눈으로 볼 수 있기 때문에 軸系의 狀態를 파악하거나 附加應力を 計算하는데 매우 편리하다. 뿐만 아니라 Holzer 表에서 全托오크의 合은 0이 되기 때문에 固有振動數와 振幅의 計算에서 잘못을 검토할 수도 있다. Holzer 表는 다음과 같이構成된다.

Table 1. Holzer table

Number	(1)	(2)	(3)	(4)	(5)	(6)	(7)	(8)	(9)	(10)	(11)	(12)
Abbreviation	SYM	M	MW W /10 ⁶	A	MW WA /10 ⁶	SUM MW WA /10 ⁶	L	L-SUM /10 ⁶	MAA	AD	ZP	SM/ZP /10 ³
Unit		kg·cm ·sec ²		rad	kg·cm	kg·cm	cm	rad		cm	cm ³	kg/cm ²
		Branch No1										
		Branch No2										
		Branch No3										

Table 1에서

- (1) 系의 固有번호(System No)를 첫머리에 놓는다.
- (2) 等價質量으로 計算된 質量慣性モーメント의 値 $M(\text{kg cm sec}^2)$ 을 記入한다.

一般的으로 造船所에서는 機關製作會社로부터 機關의 비틀림振動에 關한 資料를 等價質量 및 等價길이의 形式으로入手하는 것이 보통이기 때문에 造船所는 中間軸과 推進軸 그리고 プロペラ의 等價질이 및 等價質量을 計算하여 하나의 振動系를 作成한다.

- (3) 質量慣性모멘트에 同有角振動 ω (rad/sec)의 倍率을 求한다.
 - (4) Jacobi回轉法에 서 얻은 振幅 A (rad)를 記入한다.
 - (5) 質量慣性모멘트 M 과 角振動數 ω , 그리고 振幅比 A 로부터 토크를 구한다. 즉, $M\omega^2 A$ (kg cm)를 求해 記入한다.
 - (6) 全扭矩의 합 $\sum M\omega^2 A$ (kgcm)를 計算한다.
 - (7) 等價길이 L (cm)를 (2)項과 같이入手 및 計算하여 記入한다.
 - (8) $\sum M\omega^2 A$ 와 等價길이 L 로부터 비틀림振幅을 $L \cdot \text{SUM}/GJ$ (rad)의 形式으로 計算하여 記入한다.
 - (9) $\sum MA^2$ 을 얻기 위하여 $M \cdot A^2$ 을 計算, 記入한다.
 - (10) 實際 軸의 AD (cm)를 記入하고
 - (11) 斜面係數 Z_p (cm)를 求한 다음
 - (12) 最大비틀림이 어느 部分에 位置하는가를 알 수 있도록 $\sum M\omega^2 A/Z_p$ (kg/cm²)을 計算한다.
- 이와같은 方法으로 각 分岐마다 計算하여 分岐번호를 記錄한다.
- 위의 結果는 逐次近似法으로 作成한 Holzer 表와 同一함을 알 수 있다.

3. 振動에 依한 附加應力의 計算

現在 實用化되고 있는 附加應力의 推定法으로는⁶⁾

- (1) 에너지法에 依한 方法
- (2) プロ펠러 磨耗를 基礎로 하는 方法
- (3) 히스테리시스 磨耗로부터 誘導되는 經驗值로서 推定하는 方法
- (4) 平衡振幅과 動倍率로부터 推定하는 方法 등이 있다.

물론 各 機關製作會社에서는 그 會社 나름대로의 方法을 使用하고 있지만 대개는 위의 네 가지 方法들 중에서 한가지 方法, 혹은 두 서너개의 方法들을 선택해서 使用하고 있다.

그러나, 그 計算方法이同一하다고 하더라도 주어지는 各種 係數 등에 각各 그 會社의 經驗에 依한 痕을 利用하고 있기 때문에 그 推定結果는 조금씩 다를 수 있다.

B&W型機關에는 平衡振幅과 動倍率로 부터 推定하는 方法이 使用되고 있으며, Sulzer型機關에는 에너지法을 利用하여 推定하는 方法이 使用되고 있다.

3·1 B&W型機關

B&W型機關에 使用되고 있는 方法⁵⁾은 다음과 같다.

振動應力 τ 는

$$\tau = M_s \cdot \tau_{st} \quad (\text{kg}/\text{cm}^2) \quad (22)$$

M_s : 動倍率 τ_{st} : 平衡應力

平衡應力 τ_{st} 는

$$\tau_{st} = \theta_{st} \cdot \frac{(\sum M\omega^2 A)_{max}}{Z_p} (\text{kg/cm}^2) \quad (23)$$

여기서, θ_{st} 는 最大起振托오크가 靜的으로 軸에 作用하였을 때의 角變位에相當하는 振幅

$(\sum M\omega^2 A)$: Holzer 表에서 얻은 結果值로서 最大托오크 ($\text{kg}\cdot\text{cm}$)

Z_p : 斷面係數 (cm^3)

平衡振幅比 θ_{st} 는

$$\theta_{st} = \frac{\pi/4 \cdot D^2 \cdot R \cdot T_n \cdot \sum V}{\omega^2 \cdot \sum (MA^2)} (\text{rad}) \quad (24)$$

여기서 D : 機關의 실린더 直徑 (cm) R : 機關의 크랭크 半徑 (cm)

T_n : 機關의 토크하모닉係數 $\sum V$: 빠터의 合

ω : 共振角振動數 (rad/sec) $\sum (MA^2)$: Holzer 表에서의 MAA 合

또한, 危險速度에 있어서 크랭크先端振幅 θ 는

$$\theta = M_\epsilon \cdot \theta_{st} \quad (25)$$

이므로 動倍率의 決定은 바로 附加應力의 決定임을 알 수 있다.

3·2 Sulzer 型機關

B&W 型機關에 사용되고 있는 平衡振幅과 動倍率를 利用한 方法를 Sulzer 型機關에 使用하여도 無妨하다.

그러나, Sulzer 型機關에 使用되고 있는 方法은 에너지法⁵⁾으로 다음과 같이 計算된다.

振幅應力 τ (kg/cm^2) 는

$$\tau = \theta \cdot \frac{(\sum M\omega^2 A)_{max}}{Z_p} \quad (26)$$

로서 式(23)과 同一型式이다.

또한, 式(26)에서의 振幅比는 危險速度에 있어서의 크랭크軸先端振幅을 나타낸다.

危險速度에 있어서의 크랭크軸先端振幅 θ (rad)는

$$\theta = \frac{\pi/4 \cdot D^2 \cdot R \cdot T_n \cdot \sum V}{\varepsilon \cdot \sum (MA \cdot \sum M\omega^2 A) + C_p \cdot A_p^2} \quad (27)$$

로 計算된다.

여기서 $\varepsilon : 0.035 (= 2\rho, \rho$ 는 磨耗係數比)

MA : Holzer 表에서의 各 等價質量間의 비틀림角의 合 (rad)

$$C_p = 6.531 \times 10^6 \cdot \frac{\beta \cdot P_s \cdot \omega^2}{N^3 \cdot i} \quad (28)$$

β : 常數 3.5 P_s : N RPM에서의 出力 i : 次數

로 되며 A_p 는 Holzer 表에 있어서의 프로펠러의 比振幅을 말한다. 그러므로, $C_p \cdot A_p^2$ 은 프로펠러의 減衰力임을 알 수 있다.

3·3 動倍率

動倍率 M_s :

$$M_s = \frac{1}{2\rho} \quad (29)$$

ρ 的 값은 여러 가지로 提議되어 있다. Hansen은 0.005~0.015를 주고 있으며 實測에 依하여 0.005~0.02를 얻었다는 報告도 있다. Jeon은 大型 船用ディーゼル機関으로 부터 平均 0.013을 얻은바 있고 特別한 경우를 제외하고는 1節에는 $\rho=0.0125$, 2節에는 $\rho=0.025$ 를 사용하고 있다.⁶⁾

프로펠러나 發電機를 포함하지 않는 값으로서 Holzer는 $1/2\rho=25$, Wydler는 $1/\rho=20$, Sulzer는 비틀림抵抗力 $\tau=100 \text{ kg/cm}^2$ 일 때 $1/2\rho=100$, $\tau=300 \text{ kg/cm}^2$ 일 때 $1/2\rho=58$, Dorey는 $\tau=100 \text{ kg/cm}^2$ 일 때 $1/2\rho=25$, 中小型機関에서는 $1/2\rho=30\sim60$, 發電用機関에서는 $1/2\rho=70\sim100$ 을 추천하는 사항도 있다.

B&W塑機開示에는 다음과 같은 方法으로 動倍率를 決定한다.

(1) 方法[Ⅰ]

$$M_s = \frac{1}{2\rho} = \frac{\sum MA^2}{2[\varepsilon] \cdot \sum (MA^2)_c + \varepsilon_p \cdot (\sum M_p A_p^2)} \quad (30)$$

여기서 ε : 常數 0.0085

ε_p : 常數 0.06

$\sum (MA^2)_c$: Holzer表에서 실린더 부분만의 $\sum MA^2$

$M_p A_p^2$: Holzer表에서 프로펠러의 MA^2

式(30)으로부터 실린더와 프로펠러부분의 減衰를 고려했음을 알 수 있다.

여기서 구해진 ρ 의 값을 式(29)에 代入하여 M_s 의 값을 얻는다.

(2) 方法[Ⅱ]

式(30)으로부터

$$M_s = \frac{1}{2\rho} = \frac{C}{\sqrt{\tau_{st}}} \quad (31)$$

C : 常數 100 τ_{st} : 平衡抵抗力(式(23))

(3) 方法[Ⅲ]

$$M_s = \frac{F \cdot \sum MA^2}{3.60 \times 10^7 \cdot P_s \cdot i \cdot A_p} \quad (32)$$

F : 振有振動數(CPM)

P_s : 危險速度에 있어서의 機門馬力

$$P_s = BHP \cdot (n/n_0) (\gamma_n/0.902) (p_0/10.1) \quad (33)$$

BHP : 機門의 定格出力

γ_n : 機門의 機械效率

p_0 : 平均指示壓力(kg/cm²)

n : 機門回轉數(RPM)

n_0 : 機門定格 回轉數(RPM)

i : 次數

A_p : Holzer表에 있어서의 프로펠러의 地張面

以上의 3 가지 方法中 實際에 있어서 方法[Ⅰ]은 機關型이 달라짐에 따라 지금은 거의 使用되지 않고, 方法[Ⅱ]는 2節以上의 振動에만, 方法[Ⅲ]은 1節에만 使用되고 있다.

筆者는 여러가지 機關의 비틀림振動計測結果로부터 B&W型과 Sulzer型 機關에 대한 減衰係數比를 求하였으며⁷⁾, 이를 Table 3에 보인다. 그러나, Table 3의 結果는 주로 1節振動의 結果에서 얻은 값이므로 2節以上의 振動에는 適合하지가 않을 것이다. 또한, 表에서 B&W의 GFC 및 GFCA型과 Sulzer의 RLB型機關은 서로 비슷 비슷한 値들을 나타내고 있어 最近에 開發된 機關型의 ρ 의 値들이 0.037~0.042 사이에 있음을 보여주고 있다.

Table 3. Measured values of ρ

B & W Engine			SULZER Engine		
Ship's no.	Type	f	Ship's no.	Type	ρ
1016	6L55GFC	0.0395	2007	6RLB66	0.0378
1017	6L55GFCA	0.0412	2008	6RLB66	0.0383
1018	6L55GFCA	0.0394	4001	6RLA66	0.0065
1021	6L55GFCA	0.0401	4002	6RLA66	0.0083
			4003	6RLA66	0.0072
			4004	6RLA66	0.0081
			3010	6RND68M	0.0092
			3011	6RND68M	0.0094
			3012	6RND68M	0.0087
			5001	7RND68M	0.0294

3·4 토오크하모닉係數

B&W型機關⁸⁾과 Sulzer型機關⁹⁾ 그리고, Lloyd船級¹⁰⁾에서 만든 하모닉係數表를 모아서 Fig. 6에 보인다. Fig. 6에서 가로축은 圖示平均指示壓力 p_i (kg/cm²)를, 세로축은 토오크 하모닉係數 T_n (kg/cm²)을 나타낸다.

여기서 p_i 의 計算은 B&W型機關 製作會社의 경우

$$p_i = \{0.96(n/n_0)^2 + 0.04\} p_{eo} + (p_{io} - p_{eo}) \quad (34)$$

Sulzer型機關 製作會社는 프로펠러法則에 따라

$$p_i = p_{eo} \{0.332(n/n_0)^3 + 0.456(n/n_0)^2 + 0.0112(n/n_0) + 0.203\} \quad (35)$$

를 각각 쓰고 있다.

p_{eo} : 定格出力時 平均指示壓力(kg/cm²)

p_{io} : 定格出力時 平均有効壓力(kg/cm²)

n_0 : 定格機關回轉數(RPM)

n : 機關回轉數(RPM)

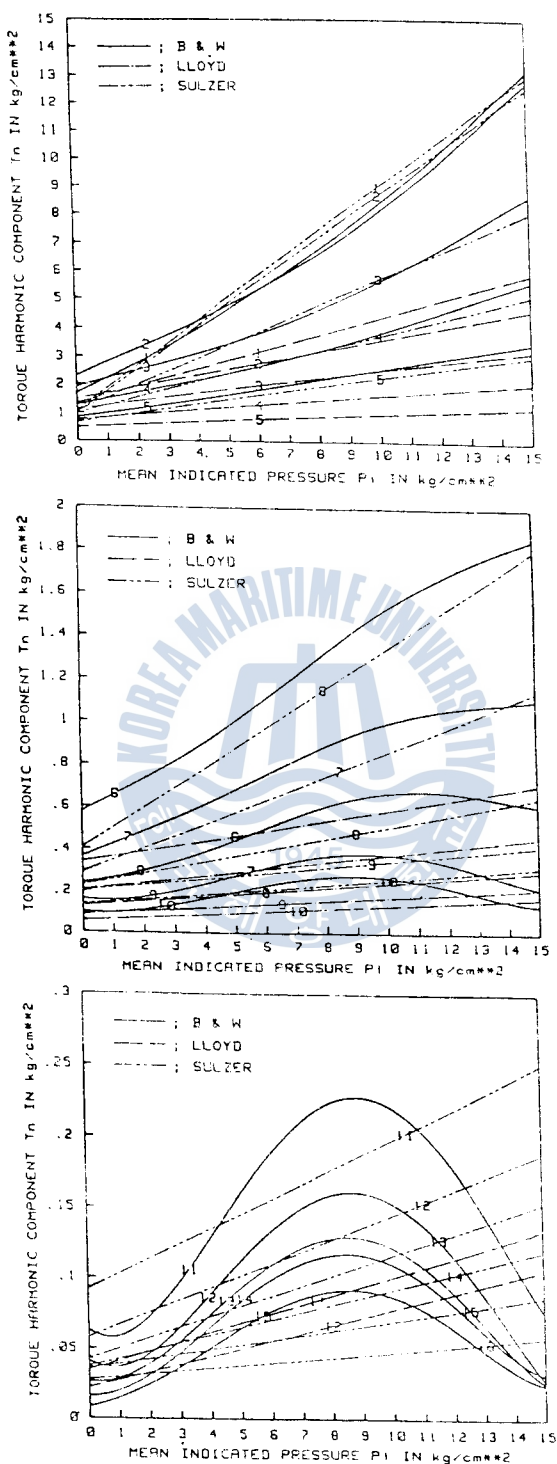


Fig. 6. Torque harmonic components

4. 電算프로그램

본 研究에 使用된 電子計算機는 IBM 4341 (8 mega bite)였으며 CMS 化(conversational monitoring system)된 것이다.

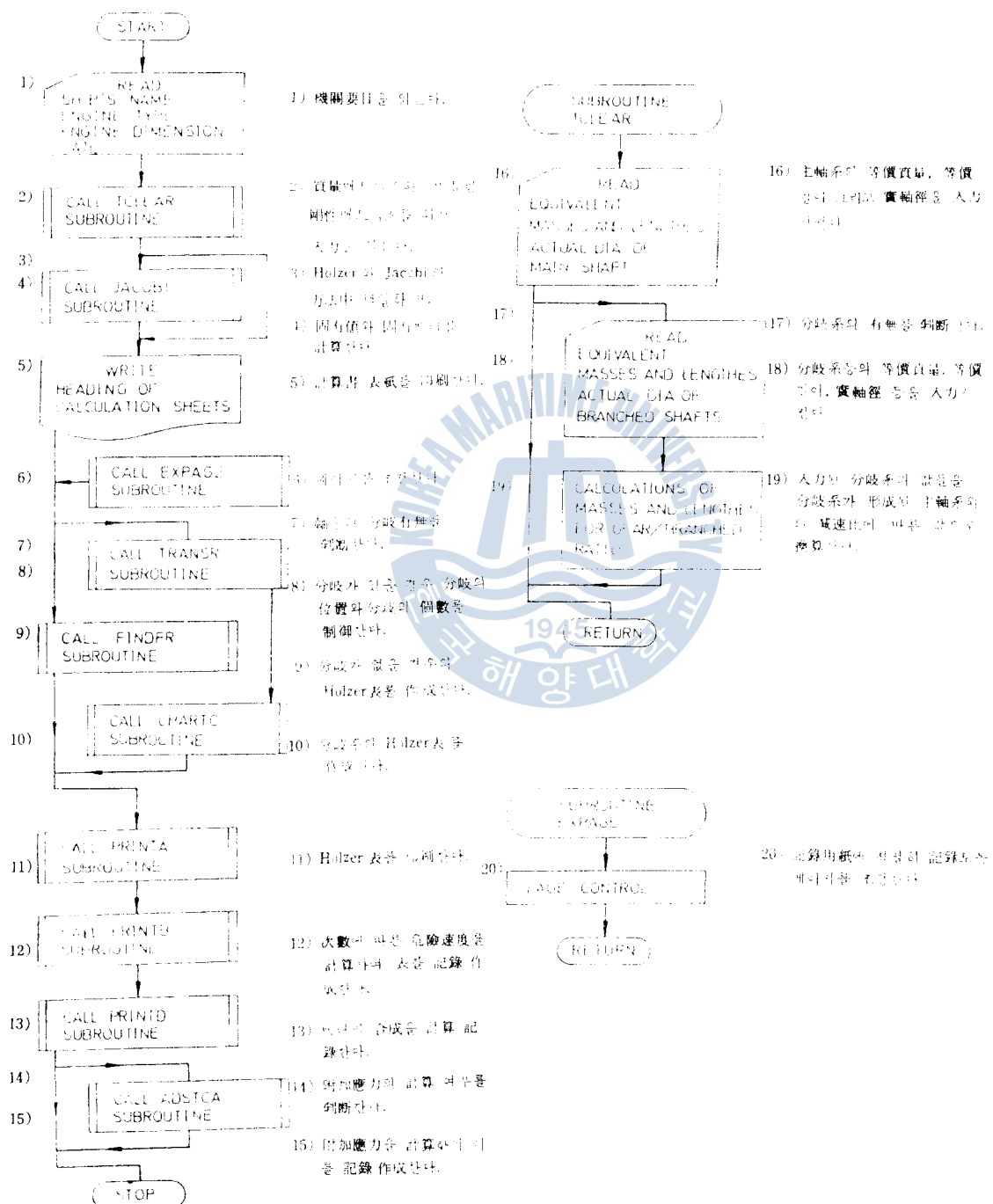
4·1 電算프로그램의 概要

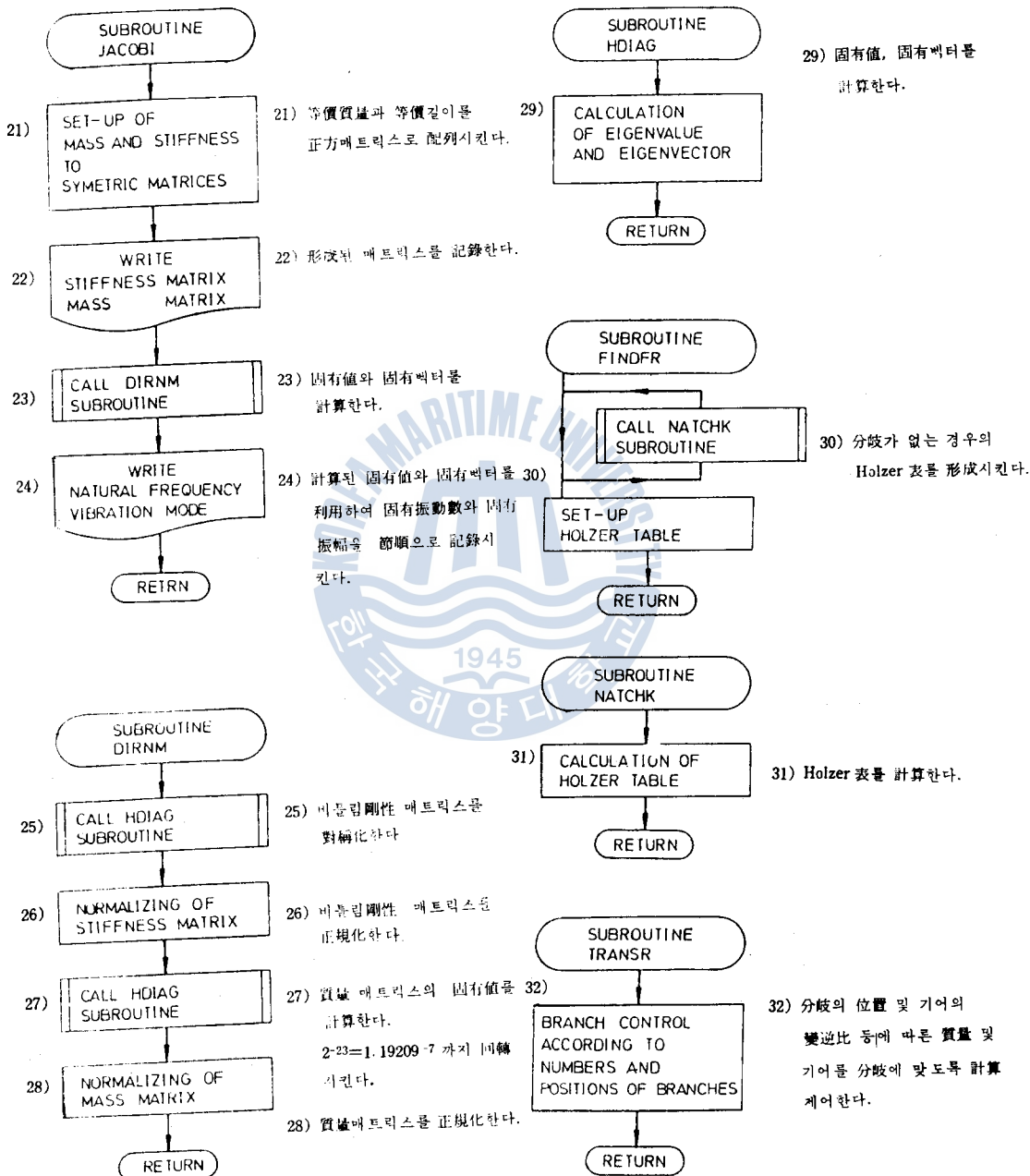
다음에 보이는 플로우챠트에서 要求되는 入力카드에는 제일 먼저 固有振動數計算을 Holzer 의 逐次近似法으로 할 것인가, Jacobi 의 回轉法으로 할 것인가를 選擇하도록 한다. Holzer 의 逐次近似法을 이용할 경우에는 分岐가 있는 軸系의 計算이 不可能하다. 그러나, Jacobi 의 回轉法을 使用하면 單一軸系이거나 分岐系이거나 關係 없이 全部 計算이 可能하다.

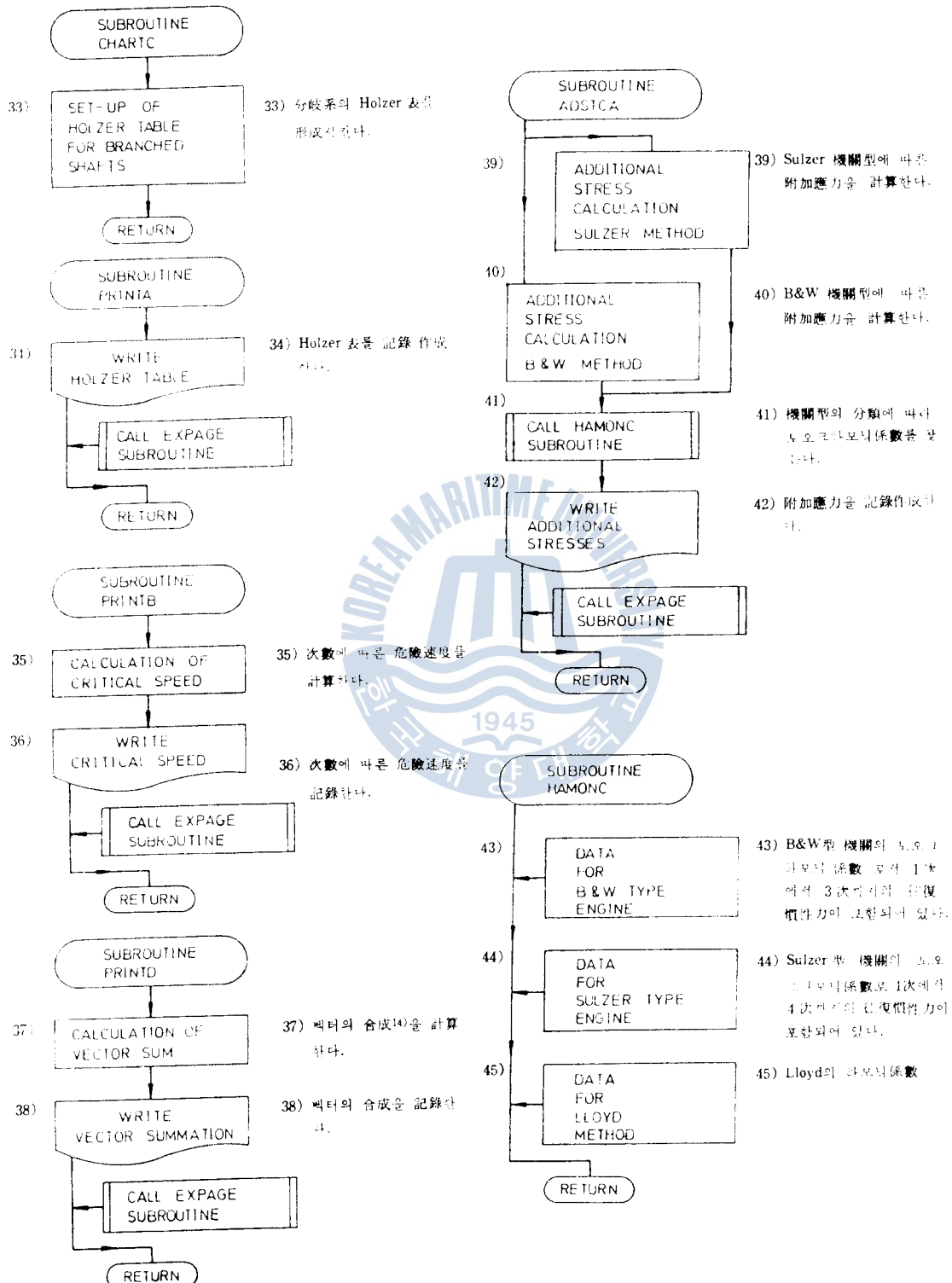
본 프로그램開發에 있어서는 다음과 같은 點을 考慮하였다.

- (1) 먼저 固有振動數만 計算할 것인가, 아니면 ベ터의 合과 Holzer 表까지 計算할 것인가, 附加應力까지 全部 計算할 것인가를 決定한다.
- (2) Jacobi 的 回轉法에는 等價質量과 等價길이가 入力으로 주어지며 이것들에 對한 個數에는 制限이 없다. 그러므로, 系의 分岐가 여러개 일지라도 固有振動數와 振幅의 計算에는 하등의 問題가 없다.
- (3) Jacobi 回轉法에 依하면 式(22)에서 보는 바와 같이 質量의 個數와 同一한 數만큼 節이 えり어진다. 그러나, 實際 Holzer 表를 作成하여 比較·檢討하는 데는 높은 節까지는 별로 의미가 없다. 一般的으로 3 節정도면 充分하나 본 프로그램은 5 節까지 計算할 수 있도록 하였다.
- (4) 機關의 型은 2 사이클과 4 사이클 機關을 구분하여 각각 計算할 수 있다.
- (5) 실린더의 갯수에 제한이 없다. 單氣筒機關에서부터 12氣筒機關, 혹은 그 以下도 計算이 可能하다.
- (6) 次數는 計算대상次數를 15차까지 하는것이 보통이나 30次까지 計算可能도록 하였다.
- (7) 附加應力의 計算에는 各機關의 型에 따라 區分하여 計算하도록 하는것이 바람직하므로 토오크 하모닉係數는 B&W 型機關, Sulzer 型機關으로 구분하였고, 그 以外에 Lloyd 船級의 것도 추가하였으며, 附加應力의 計算에 있어서는 第 3 章에서 說明한 것과 같이 各 機關製作會社가 사용하는 식을 각각 區分하여 使用도록 하였다.
- (8) 토오크하모닉係數 T_n 의 最高次數는 B&W 型機關은 15次를, Sulzer 型 機關은 16次를 그리고, Lloyd 船級은 12次까지를 入手하였기 때문에 이를 그대로 使用하였고, 平均有効壓力의 最高값은 2行程사이클의 경우 15kg/cm^2 를 넘는 機關이 아직은 없으므로 最高값은 15kg/cm^2 로 하였다.
- 最近에 이르러 機關의 型이 자주 바뀌어가고 있어서 토오크하모닉係數가 機關製作會社로부터 修正되기 때문에 수시로 이에 對한 修正이 要望된다.
- (9) 機關의 定格回轉數의 2倍以上的 危險速度는 附加應力의 計算에서 除外하였다.
- (10) 往復慣性力은 B&W 型機關¹¹⁾에서는 1 차, 2 차, 3 차까지, Sulzer 型機關¹²⁾에서는 4 차까지의 値을 고려하였다.

4·2 電算프로그램의 플로우차트







5. 實際軸의 計算과 그 結果의 比較檢討

5·1 供試軸系의 特性

Fig. 2B에 보인 바와 같이 主機關에 變速齒車를 使用한 軸發電機와 可變 프로펠러를 가진 軸系는 여러가지 運轉條件이 있을 수 있기 때문에 각 條件마다의 狀態를 考慮하여 計算하여야만 한다.

첫째 : 프로펠러 풋치 變化에 따라 機關의 負荷가 100%에서부터 機關의 運轉可能最小負荷까지 變할 때 部分負荷에 대한 圖示平均有効壓力의 變化를 감안해야 한다.

둘째 : 프로펠러의 풋치 變化에 따른 質量慣性모멘트의 變化를 最大풋치에서 最小풋치까지 考慮하여야만 한다.

셋째 : 軸發電機를 齒車박스와 連結시켜 주는 클러치의 接續과 斷切에 따른 分岐系의 加減이 發生한다. 즉, 클러치가 斷切이 되었을 때는 分岐系인 軸發電機系가 없는 軸系가 形成된다.

넷째 : 軸發電機의 負荷有無를 考慮해야 한다.

軸發電機의 負荷時와 無負荷時에 따라 連結탄성커플링의 스프링常數가 變化한다. 이는 連結彈性커플링의 스프링常數가 非線形이기 때문에 傳達토오크의 값에 따라 달라지기 때문이다.

다섯째 : 主機關의 着火狀態로서 모든 실린더가 着火하는 正常的인 機關의 運轉時와 실린더中 한 개의 실린더가 故障으로 因하여 着火하지 않을 경우를 감안해야 한다. 이는 船級協會로부터 要請되는 項目으로 이 때는 着火角이 달라지므로 이에 따른 벡터의 合成이 考慮되어야 한다.

以上의 다섯가지 條件을 全部 計算해야만 運轉可能한 범위에서의 危險速度와 共振의 存在를 確認할 수 있다. 이러한 運轉條件을 表로 만들면 Table 4와 같이 모두 12個의 計算이 必要함을 알 수 있다.

Table 4. Calculation conditions of torsional vibration

Calcu lation no.	Engine output	Propeller pitch	Condition of clutch	Condition of shaft gen.	Condition of engine firing
1	100%	Full pitch	Engaged	Loaded	Normal
2					1Cyl. Miss-fire
3			Unloaded	Normal	
4					1Cyl. Miss-fire
5			Dis- engaged	Normal	
6					1Cyl. Miss-fire
7	Min.	Zero pitch	Engaged	Loaded	Normal
8					1Cyl. Miss-fire
9			Unloaded	Normal	
10					1Cyl. Miss-fire
11			Dis- engaged	Normal	
12					1Cyl. Miss-fire

5.2 計算結果

上, 本 研究는 推進軸 機関의 軸扭 및 프로펠러에 對한 項目을 Table 5에 보았을 때 살펴보며, B&W 기관과 Sulzer型機関等 2種의 大型機関製作會社의 것을擇하였다.

이후 大韓造船公司(社)에서 現在 建造中인 배를 對象으로 한 것이다.

Table 4의 計算條件에 對한 各項目의 要目은 다음과 같다.

注 : 機関의 費荷의 바운 周期平均有効扭力 p_m (kg/cm²)

Load	B&W	SULZER
100%	14.2	14.93
Minimum load(20%)	5.8	6.43

Table 5. Data for branched shaft system

Description	B & W	SULZER
Engine type	7L67GPCA	6RLB76
Class	LLOYD	LLOYD
Cycle	2cycle	2cycle
Maker	HITACHI	MITSUBISHI
Max. output	15200BHP	15600BHP
Speed	123rpm	108rpm
No. of cylinder	7	6
Cylinder bore	670mm	760mm
Stroke	1700mm	1600mm
Mean indicated pressure	14.2kg/cm ²	14.93kg/cm ²
Firing order	1-7-2-5-4-3-6	1-5-3-4-2-6
Crank shaft dia.	550mm	660mm
Intermediate shaft Dia.	480mm	485mm
Propeller shaft Dia.	480/160mm	578/160mm
Gear maker	Renk	Renk
Propeller type	4-Blades CPP	4-Blades CPP
Propeller maker	LIPS	LIPS
Propeller Dia.	6050mm	6650mm
Propeller mass in water	423060kg.cm.sec ²	597120kg.cm.sec ²

機関의 动力도 뒷치가 最大일 때와 最小일 때 各各 달라진다.

BHP	B&W	SULZER
Full pitch(100%)	15,200	15,600
Zero pitch (20%)	3,040	3,120

注 : 프로펠러 뒷치의 變化에 따른 프로펠러의 質量慣性모멘트 $M(\text{kg}\cdot\text{cm}\cdot\text{sec}^2)$ (附加水質量을 포함)

Pitch	B&W	SULZER
Full	423,060	597,120
Zero	338,720	487,840

셋째 : 클러치의 接續 및 斷切에 따른 分岐系의 形成은 Fig. 2B에서 클러치에 연결된 系가 斷切時에는 存在하지 않는다.

넷째 : 軸發電機 負荷의 有無에 依한 커플링部分 비틀림剛性係數의 相當等價길이 l (cm)

Load	B&W	SULZER
Loaded	5,540	4,357
Unloaded	15,550	14,849

Table 6. Calculation results of B&W 7L67GFCA

Cal. No.	Node/ Order	Resonant Speed (rpm)		Amplitude (Degree)		Additional Stress (Kg/cm ²)					
		HITACHI	AUTHOR	HITACHI	AUTHOR	HITACHI	AUTHOR	HITACHI	AUTHOR	HITACHI	AUTHOR
1	II/3	137.4	137.5	0.1857	0.1858	120	119	121	119	50	44
	II/4	103.1	103.1	0.2138	0.2138	139	134	140	131	58	53
	II/7	58.9	58.9	0.5946	0.5956	386	378	388	381	160	150
2	II/3	137.4	137.5	0.1527	0.1520	100	94	100	95	41	39
	II/4	103.1	103.1	0.6340	0.6327	412	406	414	408	171	170
	II/5	82.5	82.5	0.1686	0.1639	110	100	110	103	45	44
	II/7	58.9	58.9	0.6097	0.5932	396	387	398	389	164	160
3	II/3	137.2	137.2	0.1820	0.1830	119	118	120	120	49	49
	II/4	102.9	102.9	0.2082	0.2085	136	132	137	135	56	55
	II/7	58.8	58.8	0.5816	0.5862	380	375	382	376	156	152
4	II/3	137.2	137.2	0.1528	0.1517	100	99	101	101	41	42
	II/4	102.9	102.9	0.6183	0.6153	404	399	406	401	166	164
	II/5	82.3	82.3	0.1647	0.1629	107	98	108	99	44	44
	II/7	58.8	58.8	0.5964	0.5952	390	380	392	383	160	156
5	II/3	137.9	137.9	0.1888	0.1880	121	119	123	120	51	51
	II/4	103.4	103.4	0.2200	0.2118	140	139	143	141	60	59
	II/7	59.1	59.1	0.6066	0.6016	387	381	394	382	165	155
6	II/3	137.9	137.9	0.1493	0.1490	95	93	97	96	40	38
	II/4	103.4	103.7	0.6503	0.6493	415	417	423	429	176	165
	II/5	82.7	82.7	0.1724	0.1724	110	107	112	110	47	46
	II/7	59.1	59.1	0.6221	0.6182	397	387	405	389	169	158
7	II/7	62.6	62.6	0.3337	0.3322	241	239	243	242	101	98
	II/4	109.6	109.6	0.2020	0.1994	146	144	147	146	61	58
8	II/7	62.6	62.6	0.3392	0.3320	245	244	247	245	102	98
	II/4	109.6	109.5	0.1970	0.1966	143	136	144	138	59	57
9	II/7	62.5	62.6	0.3261	0.3257	237	233	239	234	98	97
	II/4	109.4	109.5	0.1970	0.1966	143	136	144	138	59	57
10	II/7	62.5	62.6	0.3314	0.3311	241	238	243	241	99	94
	II/4	109.8	109.8	0.2062	0.2060	147	144	149	147	62	59
11	II/7	62.7	62.7	0.3397	0.3331	243	240	246	243	103	102
	II/4	109.8	109.8	0.2062	0.2060	147	144	149	147	62	59
12	II/7	62.7	62.7	0.3453	0.3060	247	244	250	247	104	99

Table 7. Calculation results of SULZER 6RLB76

Cut.	Node No.	Resonant Speed (rpm)		Amplitude (max,real)		Additional Stress (kg/cm ²)					
		MHI	AUTHOR	MHI	AUTHOR	Prop. Shaft		Int. Shaft		Crank Shaft	
						MHI	AUTHOR	MHI	AUTHOR	MHI	AUTHOR
1	11/3	122	121.6	0.2693	0.2668			87	149	145	58
	11/6	61	60.8	1.4580	1.4581			482	806	810	320
	11/12	30	30.4	0.2889	0.2838			92	160	154	61
	11/3	122	121.6	1.0286	1.0261			333	568	558	222
	11/4	92	91.2	1.1010	1.1017			367	608	615	224
	11/7	73	72.0	0.6379	0.6357			207	353	347	138
	11/6	61	60.8	1.3854	1.3862			460	766	771	306
	11/12	30	30.4	1.2172	0.2600			88	143	147	58
	11/3	61	60.8	1.4241	1.4252			473	785	792	314
	11/12	30	30.4	0.2830	0.2809			90	136	151	60
	11/3	121	121.2	1.0026	1.0077			333	552	559	222
	11/4	92	91.2	1.0716	1.0741			357	591	589	238
	11/6	61	60.8	1.3526	1.3510			443	745	742	295
	11/3	123	123.2	0.3027	0.3081			406	171	177	70
	11/6	61	60.8	1.4811	1.4830			513	876	874	347
	11/12	31	31.8	0.5657	0.5641			102	173	170	66
	11/3	123	123.2	1.1079	1.1021			369	626	620	246
b	11/4	92	91.4	1.1593	1.1601			400	672	670	266
	11/6	61	60.8	1.4750	1.4792			499	834	837	332
	11/3	128	127.7	0.5068	0.5042			181	306	303	120
	11/6	64	63.7	1.4610	1.4646			528	882	884	351
	11/12	32	31.7	0.4582	0.4546			163	277	273	109
	11/3	126	127.7	1.0343	1.0349			374	625	626	249
	11/4	96	95.8	0.9065	0.9075			329	548	551	218
c	11/1	75	76.6	0.6396	0.6390			230	386	386	153
	11/6	61	60.8	1.3389	1.3351			478	809	801	318
	11/12	32	31.9	0.3990	0.3916			143	241	240	95
	11/3	127	127.3	0.4902	0.4973			179	296	300	119
	11/6	64	63.7	1.4356	1.4340			523	867	876	348
	11/12	32	31.6	0.4511	0.4524			166	272	278	110
	11/3	127	127.3	1.0062	1.0056			360	609	603	239
	11/4	92	91.2	0.8876	0.8833			319	536	535	212
d	11/2	76	76.4	0.6259	0.6226			222	378	372	148
	11/6	64	63.7	1.3152	1.3573			479	794	803	319
	11/12	32	31.8	0.3924	0.3998			145	237	243	96
	11/3	129	128.7	0.5455	0.5469			197	333	331	131
	11/6	64	64.3	1.4963	1.4997			549	915	910	365
	11/12	32	32.2	0.4677	0.4601			169	286	283	112
	11/3	129	128.7	1.0868	1.0863			397	665	665	264
	11/4	96	96.5	0.9415	0.9427			346	576	579	230
e	11/2	77	77.2	0.6658	0.6654			244	407	408	162
	11/6	64	64.3	1.3735	1.3715			499	840	837	332
	11/12	32	32.2	0.4087	0.4063			150	250	252	100

다섯째 : 例를 들어 6 氣筒의 경우 No. 2 실린더가 着火失敗하면 着火角은 다음과 같이 된다.

正常狀態 ; $0 - 60^\circ - 120^\circ - 180^\circ - 240^\circ - 300^\circ - 360^\circ$

非正常狀態 ; $0 - 60^\circ - 180^\circ - 240^\circ - 300^\circ - 360^\circ$

機關의 回轉數 역시 機關의 回轉條件中에서 매우 重要한 要素中의 하나이다. 計算方法 1부터 12 까지에서 軸發電機에 負荷가 결렸을 때의 機關의 回轉數는 發電機의 サイ클을 滿足시키기 為해서 항상 一定해야 한다.

그러므로, 計算번호 1, 2 그리고 7, 8의 경우에는 機關最大回轉數附近에 비틀림振動의 共振點이 存在하지 않는다면 하등의 문제가 없다.

나머지 8 가지의 計算에는 最小回轉數에서 最大回轉數까지 共振點의 存在 有無를 確認해야 한다.

5·3 計算結果의 比較檢討

以上과 같은 各 條件마다의 入力으로 計算된 筆者の 計算結果를 日本의 機關製作會社인 Hitachi 및 Mitsubishi 의 計算結果와 각각 比較하여 Table 6과 7에 機關型別로 나타내었다. 이 Table에는 共振回轉數가 機關의 運轉可能範圍를 越선 벗어나는 部分과 中間軸의 共振應力이 100kg/cm^2 以下로 되 어 軸系에 危險을 주지 않는 部分은 除外하였다.

이러한 範圍內에서 5 節까지 計算하였으나 實際로 1 節에서는 中間軸에 100kg/cm^2 以上의 共振應力이 發生하지 않았으며 3 節과 그 以上의 節들에서도 回轉數가 超過하거나 應力이 적거나 하여 Table에 記錄하지 않았다. 計算번호는 Table 4의 各條件을 뜻한다.

筆者の 計算과 이를 比較하여 보면 B&W型機關의 경우는 Hitachi 計算結果가 筆者の 것보다 共振應力部分에서 약간 相異한 結果를 보여주고 있으나 그 差異는 無視할 程度이며 Mitsubishi 의 경우 筆者の 計算結果와 거의 일치하고 있다.

運轉條件에 對하여 檢討하여 보면,

첫째 : 모든 運轉條件에서 2 節 이외의 節에서는 機關運轉回轉數 附近에서 危險共振應力を 가진 振動이 存在하지 않는다.

둘째 : 機關의 馬力 즉, 프로펠러 フィチ의 變動에 따른 共振應力의 크기와 共振次數의 갯수는 7 氣筒인 B&W型 機關에서는 低馬力일 때 줄어들고 6 氣筒인 Sulzer型 機關에서는 若干 增加한다.

셋째, 正常狀態에 比해 실린더 1 個가 着火하지 않을 때에는 그 結果가 매우 달라진다.

B&W型機關의 計算結果를 보면 모든 運轉條件이 2 節 7 次의 共振狀態가 58.9RPM에서 나타나므로 54~65RPM 사이에서 機關의 運轉을 피하도록 해야 할 것이다.

그러나, 1 個의 실린더가 着火되지 않는 非正常狀態에서 機關의 負荷가 100%이고 フィチ가 最大인 경우 2 節 7 次보다 더 큰 共振應力を 가진 2 節 4 次共振狀態가 103RPM에서 나타난다. 그러므로 이 때에는 機關의 負荷 即, 프로펠러의 フィチ를 줄여서 計算번호 8의 狀態로 만들어 주거나 아니면 프로펠러 フィチ를 줄이고 軸發電機의 負荷를 助發電機로 옮긴 다음, 機關의 回轉數를 7 次의 共振回轉數가 存在하지 않는 部分의 回轉數로 變更하여야만 한다.

Sulzer 型機関의 計算結果는 심화 조급 나온다. 즉, 모든 連轉振數에서 2 頃 6 次의 危險回轉數 61~64RPM 를 가지고 있다. 이는 비슷하게만 機関의 負荷나 부하에 관계없이 1 頃의 運轉回轉數에 2 頃 4 次와 2 頃 5 次의 危險回轉數가 韓加됨을 알 수 있다.

이런 경우에는 B&W 型機関과는 달리 機關의 回轉數나 프로펠러의 位次를 變化시켜도共振點을 극복할 수 없으므로, 危險回轉數의 位置를 事先으로 定하여 機関의 運轉時에共振回轉數를 피하도록 運轉使用禁止區域을 設定해야 한다.

6. 結論

以上のように 分岐을 갖는 適用機関軸系의 비틀림振動을 計算하는 電算程式及图表를 開發하고 이의 信頼性를 確認하기 위하여 2 頃의 分岐가 있는 軸系에 適用하여 본 結果 나온다. 本은 説明을 省略하였다.

(1) 軸發電機를 驅動하는 推進軸系와 같이 分岐을 갖는 軸系의 비틀림振動計算에 있어서는 Holzer 方程式를 直接 適用하는 것보다 이론固有值問題로 바꾸어 固有振動數는 固有值, 共振幅은 固有振幅의 式으로 表示하는 것이 便利할 수 있다.

(2) 비틀림振動計算을 固有值問題로 바꾸어 表할 경우에도 이를 다시 Holzer 表形式으로 整理하여 表示하는 것은 可能하며 此方法에 依하는 것의 振動狀態를 分析하는데 있어 便利하였다.

(3) 本次研究에서 開發한 電算程式及图表으로 計算한 結果와 先進國造船所에서 行한 結果는 別다른 差異가 없었으며 앞으로 分岐가 있는 軸系의 비틀림振動에 대해서도 外國의 도움없이 獨自의으로 計算이 可能하게 되었다.

參 考 文 献

1. D. J. Hatter, Matrix Computer Methods of Vibration Analysis, London Butterworths & Co. Ltd., 1973, London, p. 65~70, 159~179.
2. Shan S. Kuo, Computer Applications of Numerical Methods, Addison-Wesley Publishing Co. Inc., 1972, Philippines, p. 213~241.
3. 横西造船協會 鋼鐵研究委員會編, 商船振動軸系標準と解説, 海文堂, 1967, 附录, p. 223~276.
4. 全孝重, 推進軸系振動, 大韓造船學會, 1974, 第1卷, p. 61~122.
5. Hitachi, Instruction Manual of Computer Program for Torsional Vibration, DWG. No. 5228459, 1979, Osaka.
6. 4項目 同一.
7. Francis S. Tse, Ivan E. Mense, Rolland T. Hinkle, Mechanical Vibrations Theory and Application, Allyn and Bacon Inc., 1978, Boston, p. 33~58.
8. B&W, Harmoniske Komponenter, DWG. No. 234167 for L67, 80, 90GFC(4), 1982, Copenhagen.
9. Sulzer, 2-Takt Motoren Harmonische Tangentialkräfte, DWG. No. 4-107, 050.289a, 289-3, 1981, Winterthur.
10. Lloyd, Rules and Regulations for the Classification of Ships, Part 5, Chapter 8, Section(s) 6 & 7,

- 1978, London.
11. 赤堀 昇, 船用主機関のねじり振動, 海文堂, 1963, 東京, p.119~141.
 12. 7項과同一.
 13. 全孝重, 機械力學, 太和出版社, 1979, 釜山, p.89~107.
 14. E. J. Nestorides, A Handbook on Torsional Vibration, The Syndics of the Cambridge University Press, 1958, London, p. 247~313.

